

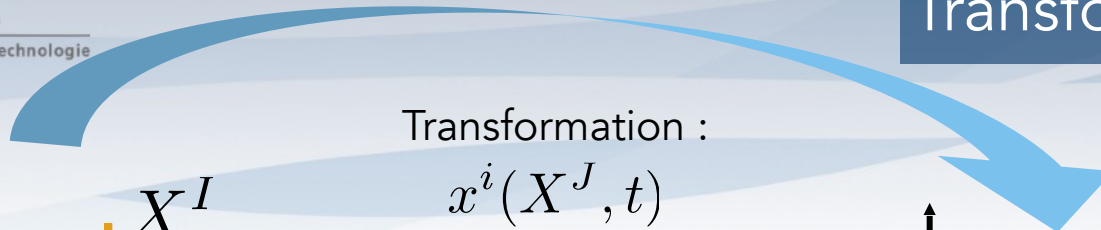
Description eulérienne pour l'hyper-élasticité anisotrope avec une formulation covariante

Emmanuelle Rouhaud
Gamma3 UTT & S3AM STMS IRCAM

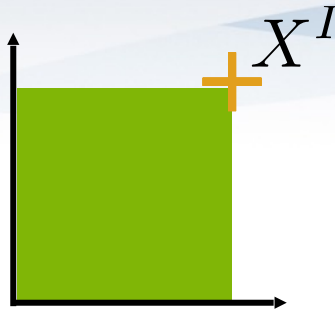
Benoît Panicaud, UTT
Alexandre Charles, UTT Safran
Richard Kerner, SU
Jacky Cresson, U. Pau
Thomas Hélie, IRCAM
Darid Roze, IRCAM
GDR GDM

CFM Nantes 2022

- Contexte
- Aspects géométriques
- Tenseur énergie-impulsion
- Hyper-élasticité anisotrope covariante
- Conclusion



Transformation :
 $x^i(X^J, t)$



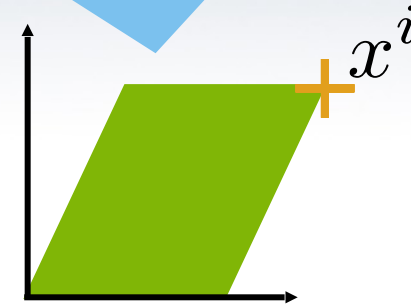
Configuration matérielle

ρ_0

Application tangente F :

$$F^i_J = \frac{\partial x^i}{\partial X^J}$$

Masse volumique



Configuration eulérienne

ρ

$$\mathbf{E} = \frac{1}{2}(\mathbf{F}^T \mathbf{F} - \mathbf{I})$$

Tenseur des déformations de Lagrange

\mathbf{S}

Second tenseur des contraintes de Piola-Kirschhoff (PK2)

$$\mathbf{e} = \frac{1}{2}(\mathbf{I} - \mathbf{F}^{-T} \mathbf{F}^{-1})$$

Tenseur des déformations d'Euler

$\boldsymbol{\sigma}$

Tenseur des contraintes de Cauchy

- Transformations hyper-élastiques
existence d'un potentiel : $W(\mathbf{E})$
- Bilan de puissance sur la configuration matérielle :

$$\mathbf{S} : \mathbf{D} - \dot{W}(\mathbf{E}) = 0$$

\mathbf{S} : le second tenseur des contraintes de Piola-Kirschhoff (PK2),

\mathbf{D} : taux de déformations matériel

\mathbf{E} : tenseur des déformations de Lagrange

- A partir de : $\mathbf{S} : \mathbf{D} - \dot{W}(\mathbf{E}) = 0$

- Sur la configuration matérielle :


avec $\dot{\mathbf{E}} = \mathbf{D}$  $\mathbf{S} = \frac{\partial W}{\partial \mathbf{E}}$

- Sur la configuration eulérienne :

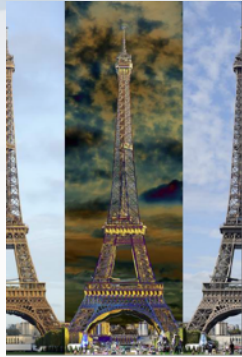
$$\mathbf{S} = \frac{\partial W}{\partial \mathbf{E}} \quad \text{--->} \quad \boldsymbol{\sigma} = -2 \frac{\rho}{\rho_0} \mathbf{b} \frac{\partial W}{\partial \mathbf{b}}$$

si **isotrope**
+ **objectivité**

\mathbf{b} : tenseur de déformations eulérien

n'est pas le bon objet ? 

$$\dot{\mathbf{E}} = \mathbf{D} \quad \text{?} = \mathbf{d}$$



$v \ll c$

Quasi-statique

HPP

OK



$v \ll c$

Dynamique

Transformations finies

- Objectivité
- Configurations (Euler/
Lagrange)
- **Anisotropie et
description eulérienne
du mouvement**

Newton



$$v \ll c$$

Quasi-statique

HPP

OK

Approche classique



$$v \ll c$$

Dynamique

Transformations finies

- Objectivité
- Configurations (Euler/ Lagrange)
- **Anisotropie et description eulérienne du mouvement**



$V \approx c$ Champ de gravitation

Tout observateur : Covariance

Relativité

- Contexte
- **Aspects géométriques**
- Tenseur énergie-impulsion
- Hyper-élasticité anisotrope covariante
- Conclusion

- Variété différentiable 4D riemannienne \mathcal{M}
tenseur métrique \mathbf{g} de signature (1,-1,-1,-1)
- Un événement P : un point de \mathcal{M}
- Un système de coordonnées défini pour un voisinage $\{x^\mu\}$ autour de P : $\mu = 0, 1, 2, 3$

$$e_\mu = \frac{\partial}{\partial x^\mu}$$

- **Observateur** : vecteurs de base dans l'espace tangent en P :

$$e_\mu = \left(\frac{\partial x^\kappa}{\partial y^\mu} \right) \frac{\partial}{\partial x^\kappa}$$

- **Changement d'observateurs** = transformation :

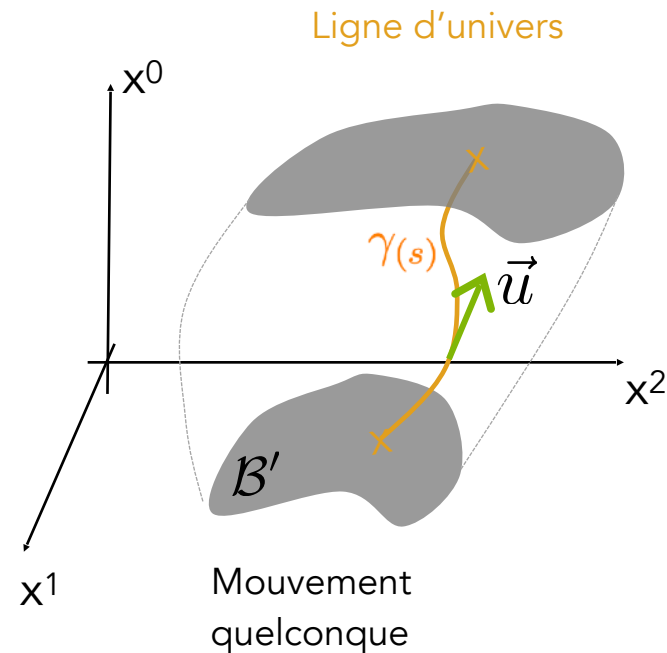
où la matrice $\left(\frac{\partial x^\kappa}{\partial y^\mu} \right)$ appartient au groupe $GL(4, \mathbb{R})$

Covariance = invariance par changement d'observateurs

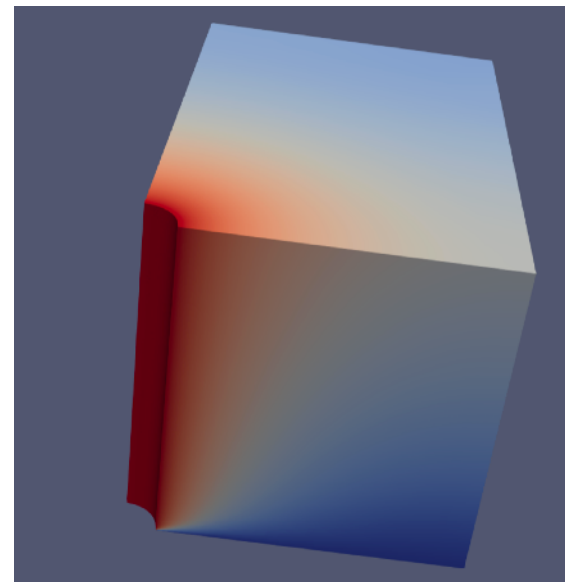
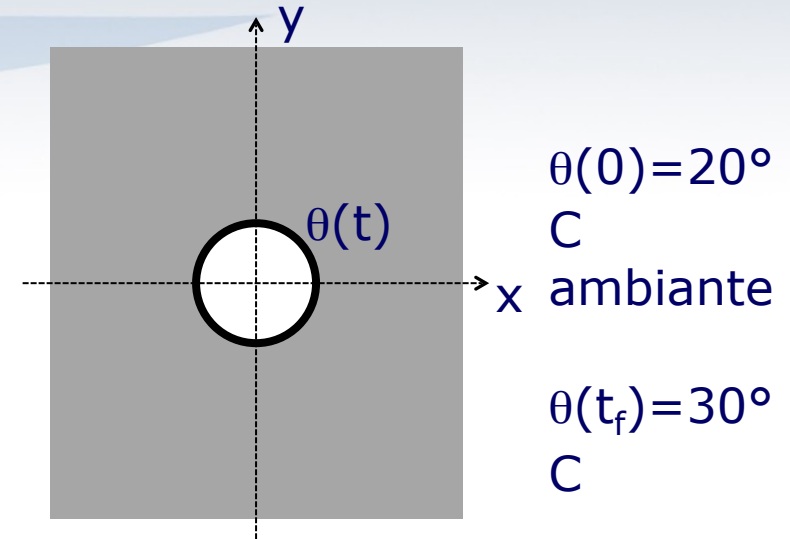
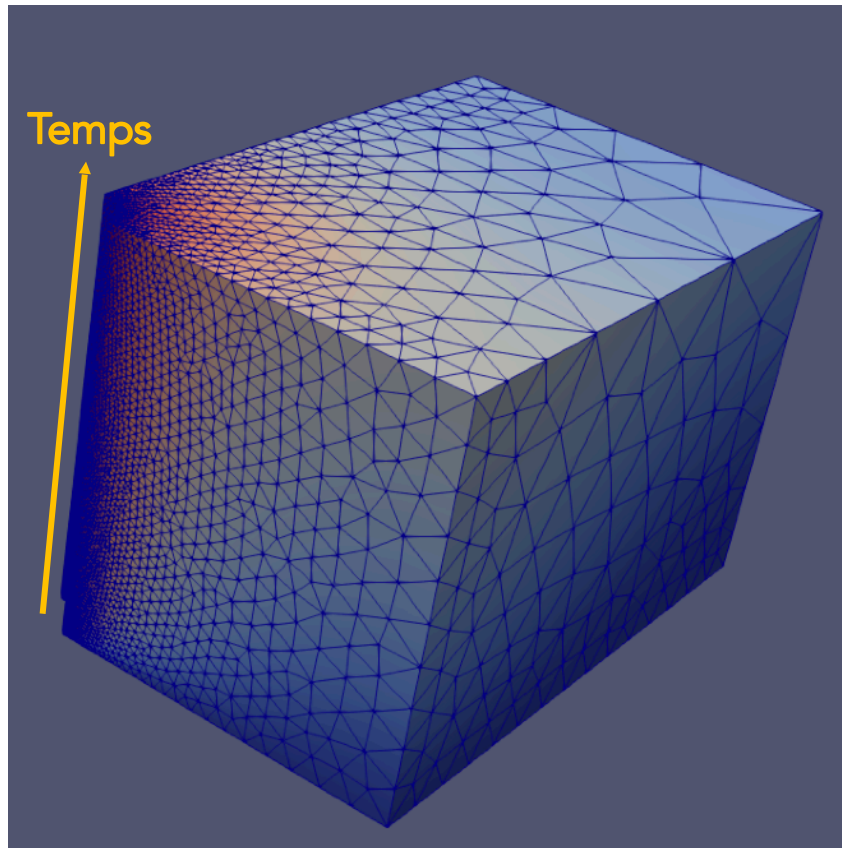
- $\mathcal{M} \times GL(4, \mathbb{R})$ = **invariance par changement de coordonnées 4D**

- Un corps \mathcal{B} est un volume, sous espace 3D, de \mathcal{M}
- Ligne d'univers $\gamma(s) : \mathbb{R} \rightarrow \mathcal{M}$
- Vitesse $u^\mu = \frac{dx^\mu}{ds}$ vecteur normé sans dimension

- Il n'y a pas de notion de configurations dans une description espace-temps.



Plaque trouée soumise à une variation de température

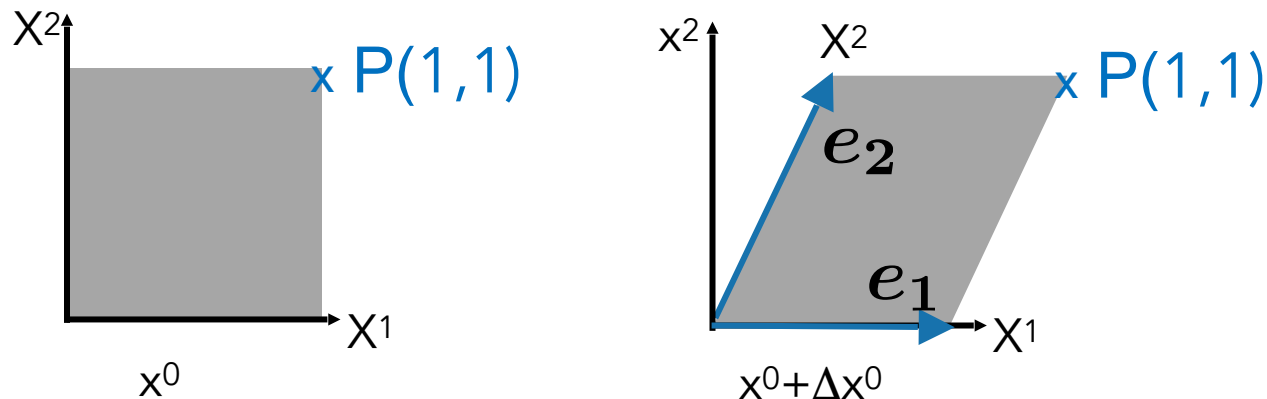


- **Observateur propre** X^μ tel que

$$u^\mu = \frac{dX^\mu}{ds} = \begin{pmatrix} 1 \\ 0 \\ 0 \\ 0 \end{pmatrix} \text{ en tout point}$$

- Matrice de passage F : $X^\mu \rightarrow x^\nu$ $F^\mu_\nu = \frac{\partial x^\mu}{\partial X^\nu}$ et son inverse F'

Exemple avec un glissement :



- **Tenseur des déformations covariant**

- Tenseur dont les composantes dans le système de coordonnées propre sont :

$$\hat{b}^{\mu\nu} = \begin{pmatrix} 1 & 0 & 0 & 0 \\ 0 & -1 & 0 & 0 \\ 0 & 0 & -1 & 0 \\ 0 & 0 & 0 & -1 \end{pmatrix}$$

Tenseur des déformations : $b_{\mu\nu} = F'^{\lambda}_{\mu} F'^{\kappa}_{\nu} \hat{b}_{\lambda\kappa}$

- **Taux de déformations \mathbf{d} :** $\mathbf{d} = \frac{1}{2} \mathcal{L}_u(\mathbf{g})$

- Contexte
- Aspects géométriques
- **Tenseur énergie-impulsion**
- Hyper-élasticité anisotrope covariante
- Conclusion

- Tenseur énergie-impulsion : \mathbf{T}
Tenseur ordre 2 symétrique

$$\mathbf{T} \begin{pmatrix} \mathcal{U} & q_x & q_y & q_z \\ q_x & T_{\sigma xx} & T_{\sigma xy} & T_{\sigma xz} \\ q_y & T_{\sigma xy} & T_{\sigma yy} & T_{\sigma yz} \\ q_z & T_{\sigma xz} & T_{\sigma yz} & T_{\sigma zz} \end{pmatrix}$$

- Conservation : $\nabla \cdot \mathbf{T} = 0$

Hyper-élasticité : pas de dissipation : $\mathbf{q} = \mathbf{0}$

- Projection sur l'espace : $\partial_{x^0}(\mathcal{U}u^i) + \partial_{x^j}(\mathcal{U}u^i u^j) - \partial_{x^j} T_{\sigma}^{ij} = 0$

- Projection sur le temps, avec $\mathcal{U} = \rho c^2 + \mathcal{W}$:

$$\mathbf{T}_{\sigma} : \mathbf{d} - \mathcal{L}_u(\mathcal{W}) = 0$$

- Contexte
- Aspects géométriques
- Tenseur énergie-impulsion
- **Hyper-élasticité anisotrope covariante**
- Conclusion

Projection sur le temps :

$$\mathbf{T}_\sigma : \mathbf{d} - \mathcal{L}_u(\mathcal{W}) = 0 \iff \mathbf{S} : \mathbf{D} - \dot{W}(\mathbf{E}) = 0$$

- Densité d'énergie : $\mathcal{W} = \frac{\varepsilon^{\alpha\beta\kappa\lambda}}{2} (g_{\alpha\beta} - b_{\alpha\beta})(g_{\kappa\lambda} - b_{\kappa\lambda})$

$$\left(\frac{\partial \mathcal{W}}{\partial \mathbf{b}} : \mathcal{L}_u(\mathbf{b}) + \frac{\partial \mathcal{W}}{\partial \mathbf{g}} : \mathcal{L}_u(\mathbf{g}) \right) - \mathbf{T}_\sigma : \mathbf{d} = 0$$

$$\mathcal{L}_u \mathbf{b} = 0, \quad \mathbf{d} = \frac{1}{2} \mathcal{L}_u(\mathbf{g})$$

$$\mathbf{T}_\sigma = 2 \left(\frac{\partial \mathcal{W}}{\partial \mathbf{g}} \right)$$

Projection sur le temps :

$$\mathbf{T}_\sigma : \mathbf{d} - \mathcal{L}_u(\mathcal{W}) = 0 \iff \mathbf{S} : \mathbf{D} - \dot{W}(\mathbf{E}) = 0$$

- Densité d'énergie : $\mathcal{W} = \frac{\varepsilon^{\alpha\beta\kappa\lambda}}{2} (g_{\alpha\beta} - b_{\alpha\beta})(g_{\kappa\lambda} - b_{\kappa\lambda})$

$$\left(\frac{\partial \mathcal{W}}{\partial \mathbf{b}} : \mathcal{L}_u(\mathbf{b}) + \frac{\partial \mathcal{W}}{\partial \mathbf{g}} : \mathcal{L}_u(\mathbf{g}) \right) - \mathbf{T}_\sigma : \mathbf{d} = 0$$

$$\mathcal{L}_u \mathbf{b} = 0, \quad \mathbf{d} = \frac{1}{2} \mathcal{L}_u(\mathbf{g})$$

$$\mathbf{T}_\sigma = 2 \left(\frac{\partial \mathcal{W}}{\partial \mathbf{g}} \right) \iff \mathbf{S} = \frac{\partial W}{\partial \mathbf{E}} \quad \text{si isotrope} \\ \text{+ objectivité}$$

Projection sur le temps :

$$\mathbf{T}_\sigma : \mathbf{d} - \mathcal{L}_u(\mathcal{W}) = 0 \iff \mathbf{S} : \mathbf{D} - \dot{\mathcal{W}}(\mathbf{E}) = 0$$

- Densité d'énergie : $\mathcal{W} = \frac{\varepsilon^{\alpha\beta\kappa\lambda}}{2} (g_{\alpha\beta} - b_{\alpha\beta})(g_{\kappa\lambda} - b_{\kappa\lambda})$

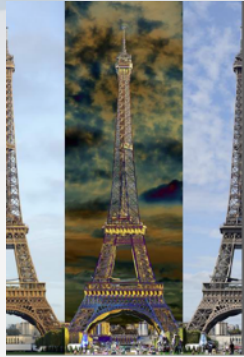
$$\left(\frac{\partial \mathcal{W}}{\partial \mathbf{b}} : \mathcal{L}_u(\mathbf{b}) + \frac{\partial \mathcal{W}}{\partial \mathbf{g}} : \mathcal{L}_u(\mathbf{g}) \right) - \mathbf{T}_\sigma : \mathbf{d} = 0$$

$$\mathcal{L}_u \mathbf{b} = 0, \quad \mathbf{d} = \frac{1}{2} \mathcal{L}_u(\mathbf{g})$$

n'est pas
le bon
objet ?

$$\dot{\mathbf{E}} = \mathbf{D} \quad ? = \mathbf{d}$$

$$\mathbf{T}_\sigma = 2 \left(\frac{\partial \mathcal{W}}{\partial \mathbf{g}} \right)$$



$$v \ll c$$

Quasi-statique

HPP

OK

Newton



$$v \ll c$$

Dynamique

Transformations finies

- Objectivité Covariance

- Configurations (Euler/

Lagrange)

- Anisotropie et
description eulérienne
du mouvement

Relativité



$V \approx c$ Champ
de gravitation

Tout Observateur

4D: (ct, x, y, z)

Covariance



Centre Paul-Langevin

Le village de vacances situé à Aussois, petit village savoyard exposé plein sud aux portes du Parc National de la Vanoise à 1500 m d'altitude, est composé du centre Paul-Langevin. Un site idéal pour vivre des vacances familiales entre détente, loisirs, sports, mais aussi découverte, gastronomie, patrimoine...

Mecamat Aussois 23-27 janvier 2023

**Les grandes transformations :
aujourd'hui et ... demain ?**

<https://aussois2023.sciencesconf.org/>

Venez nombreux !

- Bilan de puissance pour les transformations réversibles adiabatiques :

- On part de : $\boldsymbol{\sigma} : \mathbf{d} - \rho \dot{\psi} = 0$

- On pose : $\dot{W} = \rho_0 \dot{\psi} \implies \frac{\rho_0}{\rho} \boldsymbol{\sigma} : \mathbf{d} - \dot{W} = 0$

- Sur la configuration matérielle : $\frac{\rho_0}{\rho} \boldsymbol{\sigma} : \mathbf{d} = \mathbf{S} : \mathbf{D}$

- Transformations hyper-élastiques : $W(\mathbf{E})$

- Bilan de puissance sur la configuration matérielle

$$\implies \mathbf{S} : \mathbf{D} - \dot{W}(\mathbf{E}) = 0$$

\mathbf{S} : le second tenseur des contraintes de Piola-Kirschhoff (PK2),

\mathbf{D} : taux de déformations matériel

\mathbf{E} : tenseur des déformations de Lagrange

$\boldsymbol{\sigma}$: tenseur des contraintes de Cauchy, \mathbf{d} : taux de déformations,

ρ : masse volumique, ψ : énergie potentielle élastique.

- Bilan de puissance pour les transformations réversibles adiabatiques:

$$\boldsymbol{\sigma} : \mathbf{d} - \rho \dot{\psi} = 0$$

$\boldsymbol{\sigma}$: tenseur des contraintes de Cauchy,

\mathbf{d} : taux de déformations,

ρ : masse volumique,

ψ : énergie potentielle élastique.

- Si HPP avec $\rho \approx cte$ et $\mathbf{d} \approx \dot{\boldsymbol{\varepsilon}}$:

$$\left(\boldsymbol{\sigma} - \frac{\partial(\rho\psi)}{\partial \boldsymbol{\varepsilon}} \right) : \dot{\boldsymbol{\varepsilon}} = 0 \quad \longrightarrow \quad \boldsymbol{\sigma} = \frac{\partial(\rho\psi)}{\partial \boldsymbol{\varepsilon}}$$

- Comment généraliser pour les transformations finies ?

Classique

Masse volumique : ρ

Densité spécifique d'énergie : ψ

Taux de déformation : \mathbf{d}

Accélération : \vec{a}

Tenseur des contraintes de Cauchy : $\boldsymbol{\sigma}$

Conservation énergie (sans thermique) :

$$\boldsymbol{\sigma} : \mathbf{d} - \rho \dot{\psi} = 0$$

PFD :

$$\nabla \cdot \boldsymbol{\sigma} = \rho \vec{a}$$

Espace-temps

Tenseur énergie-moment symétrique \mathbf{T} et :

$$\mathbf{T} = \mathcal{U} \vec{u} \otimes \vec{u} + \mathbf{T}_\sigma$$

(sans thermique). avec $\mathcal{U} = \rho c^2 + \rho \psi$

Exemple 2D + temps :

$$T^{\mu\nu} = \begin{pmatrix} \mathcal{U} & \mathcal{U}u^1 & \mathcal{U}u^2 \\ \mathcal{U}u^1 & \mathcal{U}(u^1)^2 & \mathcal{U}u^1u^2 \\ \mathcal{U}u^2 & \mathcal{U}u^1u^2 & \mathcal{U}(u^2)^2 \end{pmatrix} + \begin{pmatrix} 0 & 0 & 0 \\ 0 & -\sigma^{11} & -\sigma^{12} \\ 0 & -\sigma^{12} & -\sigma^{22} \end{pmatrix}$$

avec $\vec{u} \begin{pmatrix} u^0 = 1 \\ u^i = \frac{v^i}{c} \end{pmatrix}$

Conservation : $\nabla \cdot \mathbf{T} = 0$

Projection sur le temps :

$$\vec{u} \cdot \nabla \cdot \mathbf{T} = 0$$

Projection sur l'espace :

$$\partial_{x^0} (\mathcal{U} u^i) + \partial_{x^j} (\mathcal{U} u^i u^j) - \partial_{x^j} \sigma^{ij} = 0$$

$$\sigma : d - \rho_0 \dot{\psi} \geq 0 \quad \psi(e)$$

Définition de la dérivée de Lie

$$\mathcal{L}_u(T)_{\mu\nu} = u^\lambda \frac{\partial T_{\mu\nu}}{\partial x^\lambda} + T_{\lambda\nu} \frac{\partial u^\lambda}{\partial x^\mu} + T_{\mu\lambda} \frac{\partial u^\lambda}{\partial x^\nu} \quad \mathcal{L}_u(a) = \frac{da}{dt}$$

Dérivée de Lie de e $\mathcal{L}_v(e)_{\mu\nu} = d_{\mu\nu}$

$$\sigma : d - \rho \mathcal{L}(\psi) = 0 \quad \sigma : d - \rho \frac{\partial \psi}{\partial e} : d = 0$$

- Pour un mouvement inertiel

Observateur propre = inertiel

$$u_0^\mu = \begin{pmatrix} 1 \\ 0 \\ 0 \\ 0 \end{pmatrix} \text{ en tout point du mouvement}$$

- Taux de déformation :

$$d_0 = \frac{1}{2} \mathcal{L}_{u_0}(\mathbf{g}) = 0$$

- Tenseur des déformations : $\mathbf{b}_0 = \mathbf{g}$

$$b_{\mu\nu} = F'^{\lambda}_{\mu} F'^{\kappa}_{\nu} \hat{b}_{\lambda\kappa} \quad \hat{b}^{\mu\nu} = \begin{pmatrix} 1 & 0 & 0 & 0 \\ 0 & -1 & 0 & 0 \\ 0 & 0 & -1 & 0 \\ 0 & 0 & 0 & -1 \end{pmatrix}$$

